

# Переработка сырья и ресурсосбережение

УДК 541.128.13:541.49

**Джафарова С.Т.<sup>1</sup>, канд. хим. наук, доцент, Ахмедов М.М.<sup>1</sup>, чл.-корр. НАНА,  
докт. хим. наук, проф., Белоус А.Г.<sup>2</sup>, акад. НАНУ, докт. хим. наук, проф.,  
Пашкова Е.В.<sup>2</sup>**

**<sup>1</sup> Институт химических проблем им. акад. М.Ф. Нагиева НАН Азербайджана, Баку**

пр. Г.Джавида, 29, 1143 Баку, Азербайджан, e-mail: rsevil7@gmail.com

**<sup>2</sup> Институт общей и неорганической химии НАН Украины, Киев**

пр. Академика Палладина, 32/34, 03142 Киев, Украина, e-mail: office@ionc.kiev.ua

## Влияние состава и условий термообработки на свойства cobальт-марганцевых оксидных систем в реакции глубокого окисления метана

Приведены результаты исследования влияния состава и условий термообработки Co/Mn оксидных систем на фазовый состав, природу образующихся шпинелей и каталитические свойства в реакции глубокого окисления метана. Установлено влияние степени тетрагональности кристаллических структур на каталитическую активность синтезированных образцов. Результаты исследований позволили определить оптимальный состав эффективного термоустойчивого катализатора, обеспечивающего полную конверсию CH<sub>4</sub> при температуре 500 °C. Библ. 22, рис. 4, табл. 1.

**Ключевые слова:** шпинель, метан, глубокое окисление.

Повышенный интерес к исследованию процесса глубокого окисления метана, являющегося основной частью природного газа, обусловлен и потенциальной опасностью «парникового эффекта» при накоплении его в атмосфере, и активным развитием таких сфер практического применения природного газа, как использование его в стационарных генераторах электрической энергии на основе водородных топливных элементов.

Самыми эффективными катализаторами для глубокого окисления метана являются благородные металлы: платина, палладий, нанесенные на поверхность различных оксидов [1–5].

Однако их высокая стоимость и ряд других причин заставляют исследователей вести поиск альтернативных каталитических систем, активность которых сопоставима с активностью катализаторов на основе благородных металлов. В этом аспекте наибольшее внимание привлекают массивные [6] и сложные оксидные системы [7–11], в частности, марганецсодержащие катализаторы [12–14] и перовскиты [15–18]. Варьированием состава сложных оксидных систем (шпинелей, твердых растворов, перовскитов) можно улучшить их каталитические свойства, термостабильность, устойчивость к ядам и восстановительным средам. Создание и примене-

ние эффективных катализаторов на их основе может сократить потребности производства в дорогостоящем и дефицитном исходном сырье (благородных металлах). Это явилось предпосылкой для синтеза кобальт-магнанцевых твердых растворов и исследования влияния состава и условий термообработки на их свойства в реакции глубокого окисления метана, что позволит более обоснованно подойти к выбору катализатора, обладающего требуемым комплексом свойств и предсказать их поведение в различных условиях эксплуатации.

Цель данной работы – исследование влияния соотношения гидроксидов Mn (II) и Co (II), условий их термообработки на фазовый состав, природу образующихся шпинелей и каталитические свойства в реакции глубокого окисления метана.

### Экспериментальная часть

Катализитические системы получали термообработкой при разных температурах продуктов совместно осажденных гидроксидов марганца (II) и кобальта (II). Совместное осаждение гидроксидов осуществляли методом быстрого пропаривания при интенсивном перемешивании смеси 1 N растворов нитратов к 1 N раствору NaOH, взятому в количестве, обеспечивающем в конце осаждения pH маточного раствора 10–11 (полнота совместного осаждения достигается в пределах pH 9,5–13,5). Свежеосажденные и отмытые от маточного раствора осадки сушили в сушильном шкафу при 80–100 °C, а затем прокаливали в интервале температур 300–1200 °C в печи типа КО-14.

Образцы исследовали методами рентгено-фазового анализа (РФА) на дифрактометре ДРОН-4-07 (Fe $\text{K}\alpha$ -излучение, съемка в каждой точке 6 с). В качестве внешних стандартов применяли SiO<sub>2</sub> (стандарт 2Θ) [19] и сертифицированный стандарт интенсивности Al<sub>2</sub>O<sub>3</sub> [20]. Для идентификации дифракционных кривых РФА использовали базу данных ICPDS.

При расчете параметров кристаллической решетки образующихся шпинелей в экспериментальные значения углов отражений вносились поправки по данным рентгено-съемки монокристаллов LiF. Погрешность определения параметров составляла ± 0,0005 нм для тетрагональных и ± 0,0001 нм для кубических структур.

Активность катализитических систем изучена на лабораторной установке проточного типа. Кварцевый реактор имел внутренний диаметр 0,7 см и длину 20 см. Катализатор объемом 0,1 см<sup>3</sup> удерживался в средней части реак-

тора, а полые части над и под слоем катализатора были заполнены кварцевым песком. Реактор помещался в печи марки «СНОЛ». Температура была замерена хромель-копелевой термопарой на выходе из катализатора. Катализическая активность синтезированных образцов изучена в реакции окисления CH<sub>4</sub> с концентрацией 1,6 % (об.) в газо-воздушной смеси. Состав газовой смеси анализировали на хроматографе марки ЛХМ-80. Активность образцов катализаторов оценена по степени конверсии CH<sub>4</sub>, расчет которой произведен по формуле:

$$X = (\text{CH}_4\text{вх} - \text{CH}_4\text{вых}/\text{CH}_4\text{вх}) \cdot 100 \, \%$$

### Результаты и обсуждение

Результаты исследования влияния соотношения гидроксидов  $\beta\text{-Co(OH)}_2/\alpha\text{-Mn(OH)}_2$  и условий их прокалки на фазовый состав продуктов приведены в таблице. Из нее видно, что при прокаливании образцов в интервале температур 300–1200 °C основной фазой являются фазы Mn-Co шпинелей, которые представляют собой твердые растворы Mn<sub>3</sub>O<sub>4</sub>, CoMn<sub>2</sub>O<sub>4</sub>, MnCo<sub>2</sub>O<sub>4</sub> и Co<sub>3</sub>O<sub>4</sub>. В зависимости от соотношений Co/Mn и условий термообработки изменяются соотношения образующихся соединений и, следовательно, степень тетрагональности (с/а). Фазы на основе Mn<sub>3</sub>O<sub>4</sub> (или фазы, обогащенные CoMn<sub>2</sub>O<sub>4</sub> и Mn<sub>3</sub>O<sub>4</sub>) характеризуются тетрагональной структурой (T<sub>1</sub>) с соотношениями с/а = 1,14–1,15 (образцы 8–11).

Фазы на основе Co<sub>3</sub>O<sub>4</sub> (или фазы, обогащенные MnCo<sub>2</sub>O<sub>4</sub>) характеризуются кубической (К) или тетрагональной фазой (T<sub>2</sub>) с малой степенью тетрагональности с/а = 1,05–1,015 (образцы 1–3 и 5 соответственно).

Образцы 5, 7 и 12 характеризуются присутствием двух фаз K + T<sub>2</sub>, T<sub>1</sub> + T<sub>2</sub> и T<sub>1</sub> + T<sub>2</sub> соответственно. В образцах 1, 2, 6 и 11, прокаленных в интервале температур 300–500 °C, кроме шпинельной фазы, фиксируется присутствие второй фазы – CoMnO<sub>3</sub> с гексагональной структурой типа ильменита. Очевидно, в этих образцах часть ионов Mn<sup>2+</sup> окисляется до Mn<sup>4+</sup>, что приводит к выделению фазы CoMnO<sub>3</sub>.

При сопоставлении активности образцов 1 и 6 (с соотношением Co : Mn = 2 : 1 и 1 : 2) и их фазового состава видно, что образцы отличаются лишь степенью тетрагональности образующихся шпинелей (соотношением с/а) (рис.1). Полная конверсия метана обеспечивается на образце 1 при 500 °C, что на 110 °C ниже температуры достижения полной конверсии на образце 6. Образцы 1 и 6 характеризуются

## Влияние соотношения $\beta\text{-Co(OH)}_2/\alpha\text{-Mn(OH)}_2$ и условий термообработки на фазовый состав образцов

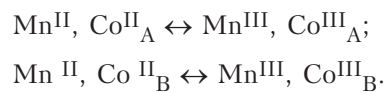
Номер образца	Co/Mn	Температура прокалки, °C	Время прокалки, ч	Фазовый состав	Обозначение фаз	Параметры кристаллической решетки шпинели, нм		
						a	c	c/a
1	2 : 1	500	2	(Co, Mn)(Mn, Co) <sub>2</sub> O <sub>4</sub> * CoMnO <sub>3</sub>	T <sub>2</sub> + CoMnO <sub>3</sub>	0,7981	0,8101	1,015
2	1,75 : 1	500	10	(Co, Mn)(Mn, Co) <sub>2</sub> O <sub>4</sub> CoMnO <sub>3</sub>	T <sub>2</sub> + CoMnO <sub>3</sub>	0,7981	0,8061	1,010
3	1,75 : 1	800	5	(Mn, Co)Co <sub>2</sub> O <sub>4</sub>	K	0,8309	—	—
4	1,5 : 1	300	9	(Mn, Co)Co <sub>2</sub> O <sub>4</sub>	K	0,8089	—	—
5	1,5 : 1	800	9	(Mn, Co)Co <sub>2</sub> O <sub>4</sub> (Co, Mn)(Mn, Co) <sub>2</sub> O <sub>4</sub>	K + T <sub>2</sub>	0,8068; 0,7998	0,8397	1,05
6	1 : 2	400	4	(Co, Mn)Mn <sub>2</sub> O <sub>4</sub> ; CoMnO <sub>3</sub>	T <sub>1</sub> + CoMnO <sub>3</sub>	0,8089	0,9302	1,15
7	1 : 2	600	4	(Co, Mn)Mn <sub>2</sub> O <sub>4</sub> ; (Co, Mn)(Mn, Co) <sub>2</sub> O <sub>4</sub>	T <sub>1</sub> + T <sub>2</sub>	0,8092; 0,8191	0,9265; 0,8600	1,145; 1,05
8	1 : 2	800	5	CoMn <sub>2</sub> O <sub>4</sub>	T <sub>1</sub>	0,8094	0,9227	1,14
9	1 : 2	900	4	CoMn <sub>2</sub> O <sub>4</sub>	T <sub>1</sub>	0,8092	0,9225	1,14
10	1 : 2	1200	4	CoMn <sub>2</sub> O <sub>4</sub>	T <sub>1</sub>	0,8094	0,9227	1,14
11	1 : 1,75	300	9	(Co, Mn)Mn <sub>2</sub> O <sub>4</sub> CoMnO <sub>3</sub>	T <sub>1</sub> + CoMnO <sub>3</sub>	0,8091	0,9305	1,15
12	1 : 1,5	1100	4	(Co, Mn)Mn <sub>2</sub> O <sub>4</sub> (Co, Mn)(Mn, Co) <sub>2</sub> O <sub>4</sub>	T <sub>1</sub> + T <sub>2</sub>	—	—	—

\*На первом месте указана преобладающая фаза.

присутствием двух фаз соответственно: T<sub>2</sub> (c/a = 1,015) + CoMnO<sub>3</sub> и T<sub>1</sub> (c/a = 1,15) + CoMnO<sub>3</sub>. Учитывая близость условий термообработки этих образцов (см. таблицу), можно сделать вывод о более высокой каталитической активности твердых растворов на основе Co<sub>3</sub>O<sub>4</sub> – MnCo<sub>2</sub>O<sub>4</sub> (фаза T<sub>2</sub>). Более низкая активность образца 6 согласуется с результатами работы [21], где на индивидуальном катализаторе Mn<sub>3</sub>O<sub>4</sub> при температуре 500 °C отмечена лишь 46 %-я конверсия метана.

Сравнение кривых образцов 1 и 6 показывает позитивный вклад фазы CoMnO<sub>3</sub> в их каталитическую активность. В отличие от этих образцов образец 7 характеризуется присутствием двух фаз T<sub>2</sub> + T<sub>1</sub> (с преобладанием T<sub>2</sub>), но не содержит CoMnO<sub>3</sub> и проявляет меньшую активность. Существенное снижение каталитической активности тетрагональных образцов 8 и

9 (c/a = 1,14) по сравнению с тетрагональным образцом 6 (c/a = 1,15) обусловлено высокой температурой их термообработки (см. таблицу). Однако, на образце 10, характеризующемся идентичным фазовым составом с образцами 8 и 9, при 700 °C наблюдается полная конверсия метана. Вероятно, с увеличением температуры прокаливания до 1200 °C в структуре CoMn<sub>2</sub>O<sub>4</sub> происходит частичное восстановление ионов Mn<sup>III</sup> до Mn<sup>II</sup> и перераспределение катионов, способствующее электронному обмену типа:



Электронный обмен между парами разновалентных катионов, располагающихся в кристаллографически эквивалентных узлах решетки, может проходить без значительной энергии активации и существенно повышать каталитическую активность шпинели.

На рис.2 показана температурная зависимость конверсии метана на кобальт-марганцевых оксидных системах при соотношении Co : Mn = 2 : 1; 1,75 : 1; 1,5 : 1 (образцы 1, 2, 4 соответственно), объемной скорости газо-воздушной смеси 9000 ч<sup>-1</sup> и в интервале температур 270–630 °C. Образцы 1, 2 имеют идентичный фазовый состав и отличаются лишь длительностью термообработки (см. таблицу). Это сказывается на характере температурной зависимости конверсии CH<sub>4</sub>. На обоих образцах полная конверсия обеспечивается при 500 °C, однако 50 и

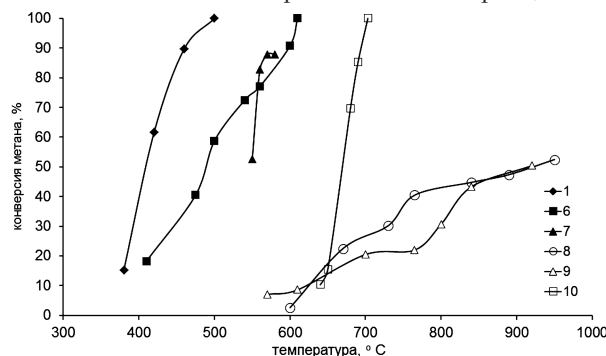


Рис.1. Кривые зависимости конверсии метана от температуры при объемной скорости 9000 ч<sup>-1</sup> (образцы 1, 6–10).

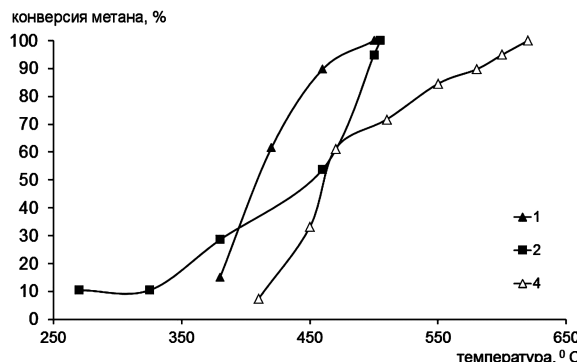


Рис.2. Температурные зависимости конверсии метана на образцах катализаторов с соотношением  $\text{Co} : \text{Mn} = 2 : 1 ; 1,75 : 1 ; 1,5 : 1$  (образцы 1, 2, 4 соответственно).

80 %-я конверсия  $\text{CH}_4$  на образце 2 наблюдается при более высокой температуре, что, вероятно, связано с уменьшением величины активной поверхности. Из рис.2 видно, что повышение содержания в составе образцов Со повышает их активность в реакции. В отсутствие фазы  $\text{CoMnO}_3$  на образце 4 полная конверсия метана достигается при  $630\text{ }^{\circ}\text{C}$ . Приведенные результаты подтверждают позитивное влияние на катализическую активность образцов присутствие фазы  $\text{CoMnO}_3$  (см. таблицу).

На образце 3, имеющем фазовый состав, идентичный образцу 4, 38,7 %-я степень конверсии метана наблюдалась при температуре  $595\text{ }^{\circ}\text{C}$ , а образец 5 до этой температуры не проявил активности. Такое поведение этих образцов связано с уменьшением активной поверхности катализатора за счет спекания при длительной высокотемпературной обработке.

На рис.3 представлены результаты исследования температурной зависимости конверсии метана на образцах катализаторов с соотношением  $\text{Co} : \text{Mn} = 1 : 2 ; 1 : 1,75 ; 1 : 1,5$  (образцы 10–12 соответственно) при объемной скорости газовой смеси  $9000\text{ ч}^{-1}$  и в интервале температур  $490$ – $700\text{ }^{\circ}\text{C}$ .

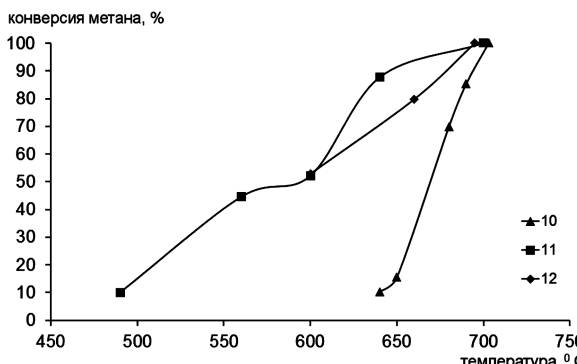


Рис.3. Температурные зависимости конверсии метана на образцах катализаторов с соотношением  $\text{Co} : \text{Mn} = 1 : 2 ; 1 : 1,75 ; 1 : 1,5$  (образцы 10–12).

Сравнение температурных зависимостей конверсии метана на рис.2 и 3 показывает, что увеличение в составе образцов Mn способствует смещению их активностей в высокотемпературную область. Полная конверсия метана на образцах 10–12 наблюдается при температуре  $700\text{ }^{\circ}\text{C}$ . Характер температурных кривых конверсии метана на этих образцах дополнительно подтверждает вывод относительно повышения катализической активности в присутствии  $\text{CoMnO}_3$ , о чем свидетельствует проявление образцом 11 наилучшей активности.

На рис.4 показана температурная зависимость конверсии метана от объемной скорости газового потока на самом активном образце (образец 1). Небольшое увеличение объемной скорости до  $9473\text{ ч}^{-1}$  незначительно влияет на активность катализатора. Ужесточение реакционных условий (увеличение газовой нагрузки на

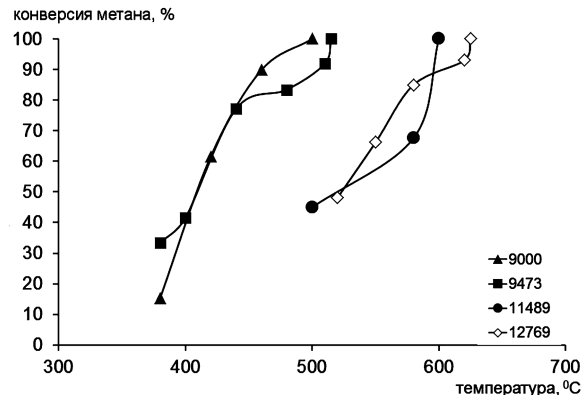


Рис.4. Температурные зависимости конверсии метана на образце 1 от объемной скорости газового потока.

каталитатор до  $12769\text{ ч}^{-1}$ ) способствует смещению активности в высокотемпературную область, что связано с уменьшением времени контакта реагентов.

Для теоретического объяснения высокой катализической активности Mn–Сo твердых растворов со структурой шпинелей нужно остановиться на особенностях их структуры и электронных свойств. Шпинели отличаются от других оксидов легкостью перестройки структуры, наличием в ней дефектов и особым механизмом электронного обмена – «перескока» электронов между соседними ионами [22].  $\text{Co}^{III}$  в октаэдре находится в сильном поле лигантов (конфигурация  $t^6_{2g}$ ) и имеет максимальную энергию стабилизации кристаллическим полем. При переносе электрона в результате окислительно-восстановительного процесса, который облегчается присутствием катиона Mn,  $\text{Co}^{III}$  переходит в  $\text{Co}^{II}$ . После осуществления каталитического цикла система возвращается в устойчивое

состояние Co<sup>III</sup>. Такой электронный обмен позволяет передать заряд адсорбированной молекуле кислорода и превратить ее в активный ион-радикал, окисляющий органическую молекулу — метан. Устойчивость основной решетки и наличие в ней ионов металла в различных окисленных состояниях обеспечивает подвод электронов, необходимый для осуществления окислительно-восстановительной реакции.

### Выводы

Исследовано влияние соотношения гидроксидов Mn (II) и Co (II) и условий их термообработки на фазовый состав и природу образующихся шпинелей.

Показано, что при соотношении Co/Mn в пределах (2 : 1)–(1,5 : 1) образуются Mn-Co шпинели с кубической или с незначительным тетрагональнымискажением ( $c/a = 1,01$ – $1,05$ ) кристаллическими структурами. При соотношении Co/Mn в пределах (1 : 2)–(1 : 1,5) формируются тетрагональные шпинели ( $c/a = 1,14$ – $1,15$ ).

Исследована катализическая активность полученных Co-Mn шпинелей в реакции глубокого окисления метана. Установлено, что шпинель с небольшим тетрагональнымискажением кубической решетки ( $c/a = 1,015$ ), полученная при низких температурах (500 °C), более активна, чем тетрагональная шпинель ( $c/a = 1,15$ ), полученная в аналогичных условиях.

На первом катализаторе при объемной скорости 9000 ч<sup>-1</sup> 100 %-я конверсия метана обеспечивается при температуре 500 °C, а на втором — при 610 °C.

Отмечено образование фазы CoMnO<sub>3</sub> со структурой ильменита при низкотемпературной термообработке (300–500 °C) шпинели и установлено ее позитивное влияние на катализическую активность Co-Mn шпинелей. Показано повышение активности образцов катализаторов при обогащении состава шпинели Co.

Синтезированная Co-Mn шпинель с небольшим тетрагональнымискажением кубической решетки ( $c/a = 1,015$ ) является эффективным катализатором реакции глубокого окисления метана, существенно дешевле катализаторов на основе благородных металлов и может явиться перспективным кандидатом в катализаторы для водородных топливных элементов.

### Список литературы

- Beck Irene E., Bukhtiyarov Valerii I., Pakharukov Ilya Yu. Platinum nanoparticles on Al<sub>2</sub>O<sub>3</sub>: Correlation between the particle size and activity in total methane oxidation // J. Catal. — 2009. — Vol. 268, № 2. — P. 60–67.
- Castellazzi Paola, Groppi Gianpiero, Forzatti Pio, Baylet Alexandre, Marecot Patrice, Duprez Daniel. Role of Pd loading and dispersion on redox behaviour and CH<sub>4</sub> combustion activity of Al<sub>2</sub>O<sub>3</sub> supported catalysts // Catal. Today. — 2010. — Vol. 155, № 2. — P. 18–26.
- Colussi Sara, Arosio Fabrizio, Montanari Tania, Busca Guido, Groppi Gianpiero, Trovarelli Alessandro. Study of sulfur poisoning on Pd/Al<sub>2</sub>O<sub>3</sub> and Pd/CeO<sub>2</sub>/Al<sub>2</sub>O<sub>3</sub> methane combustion catalysts // Catal. Today. — 2010. — Vol. 155, № 2. — P. 59–65.
- Amairia C., Fessi S., Ghorbel A., Rives A. Methane oxidation behaviour over sol-gel derived Pd/Al<sub>2</sub>O<sub>3</sub>–ZrO<sub>2</sub> materials: Influence of the zirc // J. Mol. Catal. A. — 2010. — Vol. 332, № 2. — P. 25–31.
- Lee Min Jung, Kim Nam Il. Experiment on the effect of Pt-catalyst on the characteristics of a small heat-regenerative CH<sub>4</sub>-air premixed combustor // Appl. Energy. — 2010. — Vol. 87, № 1. — P. 3409–3416.
- Kim Sang Chai, Shim Wang Geun. Catalytic combustion of VOCs over a series of manganese oxide catalysts // Appl. Catal. B. — 2010. — Vol. 98, № 4. — P. 180–185.
- Zhang Yujuan, Deng Jiguang, Zhang Lei, Qiu Wenge, Dai Hongxing, He Hong. AuO<sub>x</sub>/Ce<sub>0,6</sub>Zr<sub>0,3</sub>Y<sub>0,1</sub>O<sub>2</sub> nano-sized catalysts active for the oxidation of methane // Catal. Today. — 2008. — Vol. 139, № 2. — P. 29–36.
- Ченгвен Лю, Лайтао Луо, Ксун Лу. Приготовление мезопористых смешанных оксидов Ce<sub>1-x</sub>Fe<sub>x</sub>O<sub>2</sub> и их катализитические свойства в реакции горения метана // Кинетика и катализ. — 2008. — Т. 49, № 5. — С. 707–712.
- Thaicharoenutcharitham Somsak, Meeyoo Vissanu, Kitiyanan Boonyarach, Rangsuvigit Pramoch, Rirkosomboon Thirasak. Catalytic combustion of methane over NiO/Ce<sub>0,75</sub>Zr<sub>0,25</sub>O<sub>2</sub> catalyst // Catal. Commun. — 2009. — Vol. 10, № 5. — P. 673–677.
- Van Vegten Niels, Baidya Tinku, Krumeich Frank, Kleist Wolfgang, Baiker Alfons. Flame-made MgAl<sub>2-x</sub>M<sub>x</sub>O<sub>4</sub> (M = Mn, Fe, Co) mixed oxides: Structural properties and catalytic behavior in methane combustion // Appl. Catal. B. — 2010. — Vol. 97, № 4. — P. 398–406.
- Zhang Xiao-Fei, Hu Rui-Sheng, Gao Guan-Jun, Meng He, Su Hai-Quan. Quan Influence of Two Complexants on Structure and Performance of Ce-Sn-O Complex Oxides // Wuli huaxue xuebao. — 2007. — Vol. 23. — № 5. — P. 659–663.
- Shi Li-Min, Chu Wei, Zheng Li-Na, Chen Mu-Hua, Qu Fen-Fen, Luo Shi-Zhong. Low-temperature Catalytic Combustion of Methane over Modified MnO<sub>x</sub>–CeO<sub>2</sub> Mixed Oxide Catalysts // Gaodeng xuexiao huaxun xuebao. — 2007. — Vol. 28. — № 6. — P. 1178–1180.
- Цырульников П.Г. Эффект термоактивации в катализических системах MnO<sub>x</sub>/Al<sub>2</sub>O<sub>3</sub> для процессов глубокого окисления углеводородов // Рос. хим. журн. — 2007. — Т. 51, № 4. — С. 133–139.

14. Han Yi-Fan, Ramesh Kanaparthi, Chen Luwei, Widjaja Effendi, Chilukoti Srilakshmi, Chen Fengxi. Observation of the reversible phase-transformation of  $\alpha$ -Mn<sub>2</sub>O<sub>3</sub> nanocrystals during the catalytic combustion of methane by in situ Raman spectroscopy // J. Phys. Chem. — 2007. — Vol. 111, № 7. — P. 2830–2833.
15. Gao Zhiming, Wang Ruiyan Catalytic activity for methane combustion of the perovskite-type La<sub>1-x</sub>Sr<sub>x</sub>CoO<sub>3-δ</sub> oxide prepared by the urea decomposition method // Appl. Catal. B. — 2010. — Vol. 98, № 4. — P. 147–153.
16. Kucharczyk Barbara, Tylus Włodzimierz. Partial substitution of lanthanum with silver in the LaMnO<sub>3</sub> perovskite : Effect of the modification on the activity of monolithic catalysts in the reactions of methane and carbon oxide oxidation // Appl. Catal. A. — 2008. — Vol. 335, № 1. — P. 28–36.
17. Wu-Laitao Luo Yuehui, Liu Wei. Combustion synthesis and characterization of porous perovskite catalysts // J. Chem. Sci. — 2007. — Vol. 119, № 3. — P. 237–241.
18. Chiarello Gian Luca, Rossetti Ilenia, Forni Lucio Flame-spray pyrolysis preparation of perovskites for methane catalytic combustion // J. Catal. — 2005. — Vol. 236, № 2. — P. 251–261.
19. Certificate of Analysis Standart Ref. Material, 1976
20. Instrument Sensitivity Standart for X-Ray Powder Diffraction. Gaithersburg Natl. Inst. of Standards and Technology. 1991. Р. 1-4
21. Канцерова М.Р. Влияние наноразмерного фактора на каталитические свойства сложных оксидных систем в реакции глубокого окисления метана : Автореф. дис. ... канд. хим. наук. — Киев, 2005. — 24 с.
22. Алхазов Т.Г., Марголис Л.Я. Глубокое каталитическое окисление органических веществ. — М. : Химия, 1985. — 192 с.

Поступила в редакцию 16.12.13

**Джафарова С.Т.<sup>1</sup>, канд. хім. наук, доцент,  
Ахмедов М.М.<sup>1</sup>, чл.-кор. НАНА, докт. хім. наук, проф.,  
Белоус А.Г.<sup>2</sup>, акад. НАНУ, докт. хім. наук, проф., Пашкова Е.В.<sup>2</sup>**

**<sup>1</sup> Інститут хімічних проблем ім. акад. М.Ф. Нагиєва НАН Азербайджана, Баку**

просп. Г. Джавіда, 29, 1143 Баку, Азербайджан, e-mail: rsevil7@gmail.com

**<sup>2</sup> Інститут загальної та неорганічної хімії НАН України, Київ**

просп. Академіка Палладіна, 32/34, 03142 Київ, Україна, e-mail: office@ionc.kiev.ua

## **Вплив складу та умов термообробки на властивості кобальт-марганцевих оксидних систем у реакції глибокого окиснення метана**

Наведено результати дослідження впливу складу та умов термообробки Co/Mn оксидних систем на фазовий склад, природу шпинелей, що утворюються, та каталітичні властивості у реакції глибокого окиснення метану. Встановлено вплив ступеня тетрагональності кристалічних структур на каталітичну активність синтезованих зразків. Результати досліджень дали змогу визначити оптимальний склад ефективного термостійкого катализатора, який забезпечує повну конверсію CH<sub>4</sub> при температурі 500 °C. Бібл. 23, рис. 4, табл. 1.

**Ключові слова:** шпинель, метан, глибоке окиснення.

**Jafarov S.T.<sup>1</sup>, Candidate of Chemical Science,  
Ahmadov M.M.<sup>1</sup>, Corresponding Member of Azerbaijan National Academy of  
Science, Doctor of Chemical Science, Professor,  
Belous A.G.<sup>2</sup>, Academician of NAS of Ukraine, Doctor of Chemical Science,  
Professor, Pashkova E.V.<sup>2</sup>**

***<sup>1</sup> M.F.Nagiyev Institute of Chemical Problems of the Azerbaijan National Academy of Science, Baku***

*29, H. Javid ave., 1143 Baku, Azerbaijan, e-mail: rsevil7@gmail.com*

***<sup>2</sup> Institute of General and Inorganic Chemistry of the Ukrainian National Academy of Science, Kiev***

*32/34, Acad. Palladina ave., 03142 Kiev, Ukraine, e-mail: office@ionc.kiev.ua*

## **The Influence of the Composition and Conditions of Heat treatment of Co/Mn oxide Systems on its Properties in Reaction of Deep Oxidation of Methane**

The results of research of influence of composition and conditions of heat treatment of Co/Mn oxide systems on its phase structure, the nature of being formed spinels and catalytic properties in reaction of deep oxidation of methane, were given. Influence of tetragonality degree of crystal structures on catalytic activity of the synthesized samples was established. Results of researches allowed to define optimum structure of the effective heat-resistant catalyst, which provides full conversion of CH<sub>4</sub> at the temperature of 500 °C. *Bibl. 23, Fig. 4, Table 1.*

**Key words:** spinel, methane, deep oxidation.

### **References**

- Beck Irene E., Bukhtiyarov Valerii I., Pakharukov Ilya Yu. Platinum nanoparticles on Al<sub>2</sub>O<sub>3</sub> : Correlation between the particle size and activity in total methane oxidation. *J. Catal.*, 2009, 268 (2), pp. 60–67.
- Castellazzi Paola, Groppi Gianpiero, Forzatti Pio, Baylet Alexandre, Marecot Patrice, Duprez Daniel. Role of Pd loading and dispersion on redox behaviour and CH<sub>4</sub> combustion activity of Al<sub>2</sub>O<sub>3</sub> supported catalysts. *Catal. Today*, 2010, 155 (2), pp. 18–26.
- Colussi Sara, Arosio Fabrizio, Montanari Tania, Busca Guido, Groppi Gianpiero, Trovarelli Alessandro. Study of sulfur poisoning on Pd / Al<sub>2</sub>O<sub>3</sub> and Pd / CeO<sub>2</sub> / Al<sub>2</sub>O<sub>3</sub> methane combustion catalysts. *Catal. Today*, 2010, 155 (2), pp. 59–65.
- Amairia C., Fessi S., Ghorbel A., Rives A. Methane oxidation behaviour over sol-gel derived Pd / Al<sub>2</sub>O<sub>3</sub>–ZrO<sub>2</sub> materials : Influence of the zirc. *J. Mol. Catal. A*, 2010, 332 (2), pp. 25–31.
- Lee Min Jung, Kim Nam Il. Experiment on the effect of Pt-catalyst on the characteristics of a small heat-regenerative CH<sub>4</sub>-air premixed combustor. *Appl. Energy*, 2010, 87 (1), pp. 3409–3416.
- Kim Sang Chai, Shim Wang Geun. Catalytic combustion of VOCs over a series of manganese oxide catalysts. *Appl. Catal. B*, 2010, 98 (4), pp. 180–185.
- Zhang Yujuan, Deng Jiguang, Zhang Lei, Qiu Wenge, Dai Hongxing, He Hong. AuO<sub>x</sub> / Ce<sub>0.6</sub>Zr<sub>0.3</sub>Y<sub>0.1</sub>O<sub>2</sub> nano-sized catalysts active for the oxidation of methane. *Catal. Today*, 2008, 139 (2), pp. 29–36.
- Chengven Lju, Lajtao Luo, Ksun Lu. Preparation of the mesoporous mixed Ce<sub>1-x</sub>Fe<sub>x</sub>O<sub>2</sub> oxides and their catalytic properties in reaction of burning of methane. *Kinetika i katalis*, 2008, 49 (5), pp. 707–712. (Rus.)
- Thaicharoenutcharittham Somsak, Meeyoo Vissanu, Kitayanan Boonyarach, Rangsuvigit Pramoch, Rirkosomboon Thirasak Catalytic combustion of methane over NiO / Ce<sub>0.75</sub>Zr<sub>0.25</sub>O<sub>2</sub> catalyst. *Catal. Commun.*, 2009, 10 (5), pp. 673–677.
- Van Vegten Niels, Baidya Tinku, Krumeich Frank, Kleist Wolfgang, Baiker Alfons. Flame-made MgAl<sub>2-x</sub>M<sub>x</sub>O<sub>4</sub> (M = Mn, Fe, Co) mixed oxides : Structural properties and catalytic behavior in methane combustion. *Appl. Catal. B*, 2010, 97 (4), pp. 398–406.
- Zhang Xiao-Fei, Hu Rui-Sheng, Gao Guan-Jun, Meng He, Su Hai-Quan. Influence of Two Complexants on Structure and Performance of Ce-Sn-O Complex Oxides. *Wuli huaxue xuebao*, 2007, 23 (5), pp. 659–663. (China)
- Shi Li-Min, Chu Wei, Zheng Li-Na, Chen Mu-Hua, Qu Fen-Fen, Luo Shi-Zhong. Low-temperature Catalytic Combustion of Methane over Modified MnO<sub>x</sub>–CeO<sub>2</sub> Mixed Oxide Catalysts. *Gaodeng xuexiao huaxun xuebao*, 2007, 28 (6), pp. 1178–1180. (China)
- Cyrul'nikov P.G. Effect of thermoactivation in catalytic MnO<sub>x</sub> / Al<sub>2</sub>O<sub>3</sub> systems for processes of deep

- oxidation of hydrocarbons. *Rossijskij himicheskij zhurnal*, 2007, 51 (4), pp. 133–139. (Rus.)
14. Han Yi-Fan, Ramesh Kanaparthi, Chen Luwei, Widjaja Effendi, Chilukoti Srilakshmi, Chen Fengxi. Observation of the reversible phase-transformation of  $\alpha$ -Mn<sub>2</sub>O<sub>3</sub> nanocrystals during the catalytic combustion of methane by in situ Raman spectroscopy. *J. Phys. Chem.*, 2007, 111 (7), pp. 2830–2833.
  15. Gao Zhiming, Wang Ruiyan. Catalytic activity for methane combustion of the perovskite-type La<sub>1-x</sub>Sr<sub>x</sub>CoO<sub>3-δ</sub> oxide prepared by the urea decomposition method. *Appl. Catal. B*, 2010, 98 (4), pp. 147–153.
  16. Kucharczyk Barbara, Tylus Włodzimierz. Partial substitution of lanthanum with silver in the LaMnO<sub>3</sub> perovskite : Effect of the modification on the activity of monolithic catalysts in the reactions of methane and carbon oxide oxidation. *Appl. Catal. A*, 2008, 335 (1), pp. 28–36.
  17. Wu-Laitao Luo Yuehui, Liu Wei. Combustion synthesis and characterization of porous perovskite catalysts. *J. Chem. Sci.*, 2007, 119 (3), pp. 237–241.
  18. Chiarello Gian Luca, Rossetti Ilenia, Forni Lucio. Flame-spray pyrolysis preparation of perovskites for methane catalytic combustion. *J. Catal.*, 2005, 236 (2), pp. 251–261.
  19. Certificate of Analysis Standart Ref. Material, 1976.
  20. Instrument Sensitivity Standart for X-Ray Powder Diffraction. Gaithersburg National Institute of Standards and Technology, 1991, pp. 1–4.
  21. Kancerova M.R. Vlijanie nanorazmernogo faktora na kataliticheskie svojstva slozhnyh oksidnyh sistem v reakcii glubokogo okislenija metana : Dis. kand. him. nauk, Kiev, 2005, 145 p. (Ukr.)
  22. Alhazov T.G., Margolis L.Ja. Glubokoe kataliticheskoe okislenie organicheskikh veshhestv. Moscow : Himija, 1985, 192 p. (Rus.)

Received December 16, 2013

УДК 661.96:661.993

**Котов В.Г., канд. техн. наук, Святенко А.М., канд. техн. наук,  
Ховавко А.И., канд. техн. наук, Небесный А.А., Филоненко Д.С.**

**Институт газа НАН Украины, Киев  
ул. Дегтяревская, 39, 03113 Киев, Украина, e-mail: neba79@gmail.com**

## **Термодинамика процесса сажеобразования при высокой концентрации водорода в газе, содержащем монооксид углерода**

Рассмотрена система, находящаяся в состоянии термодинамического равновесия, при разных температурах и содержании водорода в исходной смеси CO + H<sub>2</sub>. Показано, что с повышением содержания водорода количество углерода, образовавшегося в равновесной системе в расчете на 1 м<sup>3</sup> исходной смеси CO + H<sub>2</sub>, снижается. При содержании водорода более 57 % на кривой зависимости выхода углерода от температуры появляется максимум, а при содержании водорода выше 83 % процесс углеродообразования прекращается полностью при любой температуре. Выход углерода в зависимости от содержания водорода в расчете на 1 м<sup>3</sup> монооксида углерода, находящегося в смеси с водородом, также имеет максимум, который (в зависимости от температуры) находится в диапазоне концентраций водорода от 33 до 40 %. В этом случае происходит перераспределение углерода в системе в сторону максимального его накопления в твердой фазе. С повышением содержания водорода степень развития реакции диспропорционирования углерода понижается, а роль реакции H<sub>2</sub> + CO = H<sub>2</sub>O + C возрастает. В результате с повышением содержания водорода степень превращения монооксида углерода понижается. Библ.7, рис. 4, табл. 1.

**Ключевые слова:** монооксид углерода, водород, реакции углеродообразования и метанации, выход углерода.